

# Experimentalphysik - Struktur der Materie

## Teil 1: Atomphysik

### 1. Relativistische Kinematik

#### 1.1. Spezielle Relativitätstheorie (SRT)

2 Postulate: 1) Die Gesetze der Physik gelten in allen Inertialsystemen, die sich gleichförmig gegeneinander bewegen.

2) Alle Beobachter messen unabhängig von ihrem Bewegungszustand denselben Wert für die Vakuumlichtgeschwindigkeit  $c$ .

Zu 1) Inertialsystem: kartesisches Referenzkoordinatensystem

$$\vec{r}' = x_0 \vec{e}'_x + y_0 \vec{e}'_y + z_0 \vec{e}'_z = \begin{pmatrix} x_0 \\ y_0 \\ z_0 \end{pmatrix}$$

• Zeitkonst. Bezug  $\vec{r}' \neq f(t)$  offset

• gleichförmig bewegt

$$\vec{r}' = \begin{pmatrix} x_0 + v_x t \\ y_0 + v_y t \\ z_0 + v_z t \end{pmatrix} = \vec{r}_0 + \vec{v} t \quad // \vec{v} = \text{const.} \quad \vec{v} \neq f(t)$$

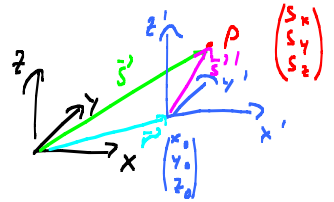
$$\vec{s} = \begin{pmatrix} s_x \\ s_y \\ s_z \end{pmatrix}, \quad \vec{s}' = \begin{pmatrix} s'_x \\ s'_y \\ s'_z \end{pmatrix} = -\vec{r}' + \vec{s}$$

$$\vec{s}' = \vec{s} - \vec{r}'_0 - \vec{v}_0 t \quad // r_0 = 0 \text{ für } t = 0 \text{ Abd. A.}$$

$$s_x, s_y, s_z \dots \in \mathbb{R}$$

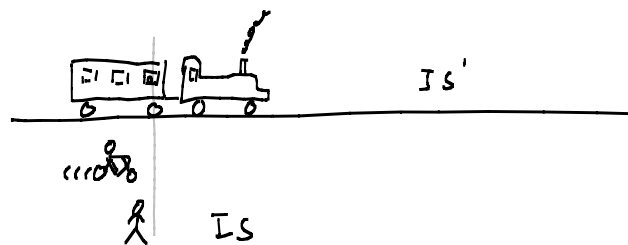
$$\Rightarrow \vec{s}' = \begin{pmatrix} s_x - v_x t \\ s_y - v_y t \\ s_z - v_z t \end{pmatrix}$$

Galilei-Transformation



### Newton'sches Relativitätsprinzip:

Unter der Galilei-Transformation ändern sich die phys. Gesetze nicht.



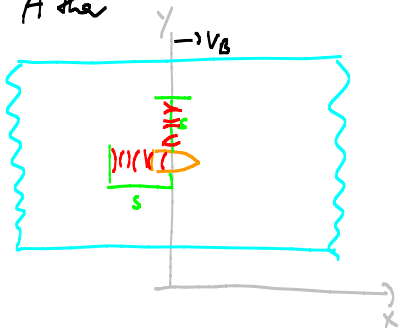
$$\text{IS:} \quad v_z, v_z \quad E_{\text{kin}, \vec{r}} = \frac{1}{2} m v_z^2, \quad s_z = v_z t \quad (t=0, s=0)$$

$$\text{IS':} \quad v_z' = 0, \quad v_z' = v_z - v_z \neq v_z \quad E_{\text{kin}, \vec{r}'} = \frac{1}{2} m v_z'^2$$

Problem: Licht verhält sich anders!

$$\text{Elektromagnetische Welle:} \quad v_L = v_L'$$

Zu 2) 1880 Äther



Längenzug der Wellen?

x-Richtung

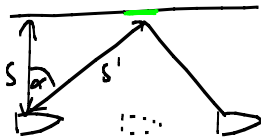
$$v_{x1} = -v_B + c = c - v_B$$

$$v_{x2} = v_B + c = c + v_B$$

$$t_{x1} = \frac{s}{v_{x1}}, \quad t_{x2} = \frac{s}{v_{x2}}$$

$$t_x = s \left( \frac{1}{v_{x1}} + \frac{1}{v_{x2}} \right) \dots = \frac{2s}{c} \left( 1 - \frac{v_B^2}{c^2} \right)^{-1}$$

y-Richtung



$$\tan \alpha = \frac{v}{c}$$

$$t_y = \frac{2s'}{c}, \quad s'^2 = s^2 + \left( v_B \cdot \frac{t_y}{2} \right)^2 \Rightarrow t_y = \frac{2s}{c} \left( 1 - \frac{v_B^2}{c^2} \right)^{-1/2}$$

Zeitdifferenz  $\Delta t = t_x - t_y$

$$v_B \ll c \quad (1 \pm \epsilon)^n = 1 \pm n\epsilon$$

$\epsilon \ll 1$

$$\Delta t = \frac{5v_B^2}{c^3}$$

Experiment:  $s = 1 \text{ m}, \quad v_B = v_{\text{Erde}} \approx 30 \frac{\text{km}}{\text{sec}}$

$$\Delta t = \dots 3,3 \cdot 10^{-17} \text{ sec}$$

$$\Delta s = c \cdot \Delta t \sim 10^{-8} \text{ m} = 10 \text{ nm}$$

Spektrometer:  $\frac{500 \text{ nm}}{50} = 10 \text{ nm}$

$$\frac{\Delta \lambda}{\lambda} = R \rightarrow \text{einfach}$$

### Michelson-Morley-Experiment

Schlüsse: • Äther nicht relativ zur Erde



geozent. Weltbild



•  $c = \text{const.}$  relativ zur Quelle

$\Rightarrow$  Doppelsternrotationskurven wären verzerrt

•  $c = \text{const.}$ ,  $\nexists$  Äther  $\Rightarrow$  Postulat 2

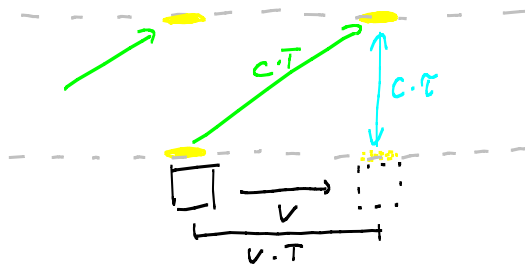
$\Rightarrow$  widerspricht Newton'schem Relativitätsprinzip

## Folgerungen

1) stationäre Lichtuhr

$$s = c \cdot \tau$$

2) bewegte Lichtuhr



ticks (Lichtblitze)

$$(cT)^2 = (vT)^2 + (c\tau)^2$$

$$T = \frac{1}{\sqrt{1 - \frac{v^2}{c^2}}} \tau = \gamma \tau$$

$$\gamma = \left(1 - \frac{v^2}{c^2}\right)^{-\frac{1}{2}}$$

$\tau$ : Zeit wahrgenommen vom mitbewegten Beobachter

$T$ : Zeit wahrgenommen vom Beobachter, der sich mit  $v$  relativ zur Uhr bewegt.

• Für bewegten Beobachter vergeht mehr Zeit zwischen den Schlägen: Zeitdilatation

- Myonon:  $m_\mu = 207 m_e$   $q_\mu = q_e$   $t_{\mu_0} = 2,2 \mu\text{sec}$

// Kosmische Strahlung in Hochatmosphäre (Atome)

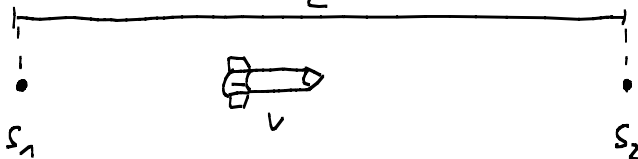
$v_\mu \approx 99\% c \Rightarrow \gamma \approx 7,1 \Rightarrow \gamma t_{\mu_0} = 16 \mu\text{sec}$

$$s_{2,2\mu\text{sec}} = c \cdot 2,2 \mu\text{sec} = 660 \text{ m}$$

$$s_{16\mu\text{sec}} = 660 \text{ m} \cdot 7,1 = 4700 \text{ m} \quad // \text{ am Boden nachweisbar}$$

- Abmehren in Flugzeugen

-  $\gamma = 1,01$  für  $v = 0,14 c$



$$L' \text{ von der Erde} \quad t' = \frac{L'}{v}$$

$$t_R = \frac{t_R'}{\gamma}$$

$$L = v \cdot t_R = v \cdot \frac{t_R'}{\gamma} = \frac{L'}{\gamma}$$

Längenkontraktion

## 1.2 Lorentz-Transformation

- Zeitdilatation

- Längenkontraktion

1890 G11-Strahlung

Ort

$$z = z$$

$$y' = z$$

$$x' = (x - vt) \gamma$$

$$t' = (t - \frac{v}{c^2} x) \gamma \dots$$

$$x = \gamma (x' + vt')$$

$$y' = y$$

$$z' = z$$

$$t' = \gamma (t - \frac{vx}{c^2})$$

$$x = \gamma (x' + vt')$$

$$y = y'$$

$$z = z'$$

$$t = \gamma (t' + \frac{vx'}{c^2})$$

$$\gamma = \frac{1}{\sqrt{1 - \frac{v^2}{c^2}}}$$

$v \ll c$  Lorentz  $\rightarrow$  Galilei :  $\bar{u}$  Bewegung

Geschwindigkeiten:

$$(x, y, z, t) \quad u_x$$

$$(x', y', z', t') \quad u_{x'}$$

$$u_x = \frac{dx}{dt}$$

$$u_{x'} = \frac{dx'}{dt'}$$

$$u_{x'} = \frac{dx'}{dt'} = \frac{\gamma(dx - v dt)}{\gamma(dt - \frac{v}{c^2} dx)} \quad / \frac{dx}{dt} = u_x$$

$$\boxed{u_{x'} = \frac{u_x - v}{1 - \frac{v u_x}{c^2}} \quad u_x = \frac{u_{x'} + v}{1 + \frac{v u_{x'}}{c^2}}$$

$$\text{Sei } u_x = c \Rightarrow u_{x'} = \frac{c - v}{1 - \frac{v \cdot c}{c^2}} = \frac{c(c - v)}{c - v} = c$$

Konsistent!

### 1.3. Relativistische Impulse & Energien

Klassisch  $\vec{p} = m_0 \vec{u}$

ok für Galilei-Transformation

ok für Lorentz-Transformation

$$\vec{p}' = \gamma m_0 \vec{u}'$$

$$\gamma = \left(1 - \frac{u^2}{c^2}\right)^{-\frac{1}{2}} = \gamma(u)$$

$$\gamma = \gamma(v)$$

$$v \ll c$$

$$p_{x'} = p_x$$

!

$$p_x' = \gamma p_x - \gamma \frac{v}{c^2} E$$

$$p_y' = p_y$$

$$p_z' = p_z$$

$$E = \gamma E - \gamma v p_x$$

$$E = m_0 \gamma(u) c^2 = m_0 c^2 \left(1 - \frac{u^2}{c^2}\right)^{-\frac{1}{2}} = m_0 c^2 \left(1 + \frac{u^2}{2c^2}\right)$$

$$E' = m_0 \gamma(u') c^2 = m_0 c^2 + \frac{1}{2} m_0 u^2 + \dots$$

Ruheenergie kin. Energie  
(1905)

$$(1 + \epsilon)^n = 1 + n\epsilon$$

• Äquivalenz von Masse und Energie  $\Rightarrow E = m_0 c^2$

$$1 \text{ t TNT} \rightarrow 4,18 \cdot 10^9 \text{ J}$$

1 Mt H-Bombe Wieviel Masse wird verwandelt.

$$m = \frac{E}{c^2} = \frac{4,18 \cdot 10^9 \text{ J} \cdot 10^6}{(3 \cdot 10^8 \text{ m/s})^2} = 46 \text{ g}$$

• p statt u

$$E = \gamma(u) m_0 c^2, \quad p = \gamma(u) m_0 u \Rightarrow E^2, p^2 \rightarrow u^2 = \dots$$

$$E^2 = m_0^2 c^4 + p^2 c^2$$

$$\rightarrow m_0 = 0 \text{ (z.B. Photon)} \quad \boxed{E = p \cdot c}$$

$$\rightarrow p = 0 \quad \boxed{E = m_0 c^2}$$

$$m_0^2 c^4 = \text{const} \quad \underbrace{E^2 - p^2 c^2}$$

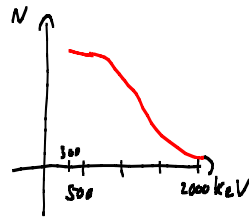
Lorentz-invariant

Versuch

$$E = \sqrt{m_0^2 c^4 + p^2 c^2} = pc \sqrt{1 + \frac{m_0^2 c^4}{p^2 c^2}} = pc \sqrt{1 + \left(\frac{m_0 c}{p}\right)^2} \quad p > m_0 c$$

$$E \sim p$$

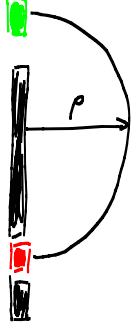
klassisch:  $E = \frac{1}{2} \frac{p^2}{m} \sim p^2$



→ Zerfall von  $^{90}\text{Sr}$   $t_{1/2} = 28,8$  Jahre

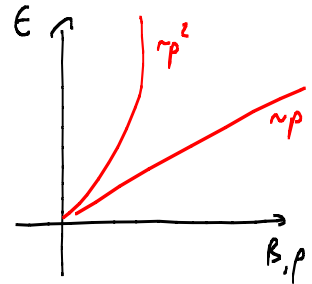
→  $e^-$

Quelle  $^{90}\text{Sr}$



$$\frac{mv}{p} = q(\vec{v} \times \vec{B}) = qvb$$

Versuch



Elektronen von 40 keV:  $0,374c$

$$\boxed{mv = p = qBp}$$

$$\text{Messung: } p \cdot c \sqrt{1 + \left(\frac{mc}{p}\right)^2} - m_0 c^2$$

## 2. Quantentheorie des Lichts

### 2.1. EM-Wellen

$$\cdot \vec{E} = \frac{q}{4\pi\epsilon_0 r^2} \quad \vec{E}_r = \frac{r}{q}$$

• EM-Felder

$$\oint \vec{E} \cdot d\vec{A} = \frac{q}{\epsilon_0} \quad \text{div } \vec{D} = \rho, \quad \vec{D} = \epsilon_0 \vec{E}$$

$$\cdot -\oint_B \vec{E} \cdot d\vec{s} = \oint \vec{E} \cdot d\vec{s} \quad \text{rot } \vec{E} = -\dot{\vec{B}}$$

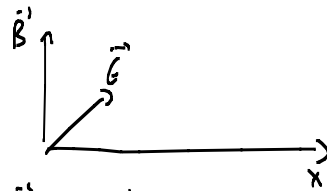
- $\oint \vec{B} \cdot d\vec{A} = 0$      $\text{div } \vec{B} = 0$      $\nexists$  magn. Monopole
- $\oint \vec{B} \cdot d\vec{s} = \mu_0 I$      $\text{rot } \vec{H} = \vec{j}$      $\vec{H} = \mu_0 \vec{B}$   
Stromdichte
- $\oint \vec{B} \cdot d\vec{s} = \mu_0 I + \epsilon_0 \mu_0 \dot{\phi}_E$  ;  $\text{rot } \vec{H} = \vec{j} + \dot{\vec{B}}$

Freie Raum  $\vec{j} = 0$      $\rho = 0$

$\Rightarrow \text{rot } \vec{E} = -\dot{\vec{B}}$

$\text{rot } \vec{H} = \dot{\vec{B}}$

$\text{rot } \vec{B} = \mu_0 \epsilon_0 \dot{\vec{E}}$



$\vec{E} = E \cdot \vec{e}_y$

$\vec{B} = B \cdot \vec{e}_z$

$\Rightarrow \frac{\partial E}{\partial x} = -\frac{\partial B}{\partial t} \Rightarrow \frac{\partial^2 E}{\partial x^2} = -\frac{\partial^2 B}{\partial x \partial t}$

$-\frac{\partial B}{\partial x} = \mu_0 \epsilon_0 \frac{\partial E}{\partial t} \Rightarrow -\frac{\partial^2 B}{\partial x \partial t} = \epsilon_0 \mu_0 \frac{\partial^2 E}{\partial t^2}$

$\dot{\vec{E}} = c^2 \vec{E}''$

$\dot{\vec{B}} = c^2 \vec{B}''$      $\epsilon_0 \mu_0 = \frac{1}{c^2}$

$E = E_0 \sin(kx - \omega t)$

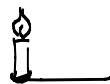
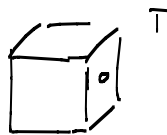
$\omega = \frac{2\pi}{T} = 2\pi \nu$

$k = \frac{2\pi}{\lambda}$  ,  $c = \frac{\omega}{k} = \lambda \cdot \nu$

$\sum_{i=1}^3 \frac{\partial^2 E_i}{\partial x_i^2} - \epsilon_0 \mu_0 \frac{\partial^2 E}{\partial t^2} = 0 = \square \vec{E}$

$\square$  d'Alambertscher Operator

## 2.2. Schwarzkörperstrahlung



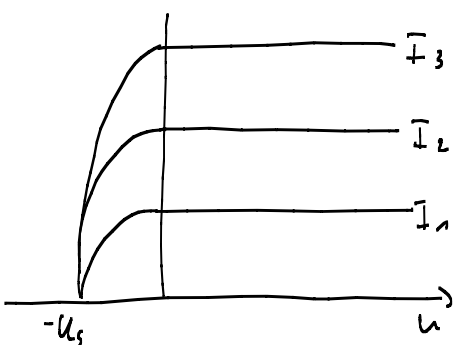
Versuch

$\Rightarrow h$

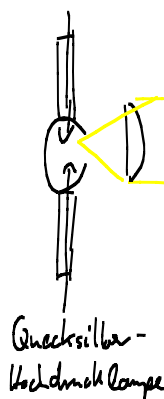
$E = h \nu$

## 2.3. Photoeffekt

Hertz - Hallwachs 1888



Versuch



Interferenzfilter

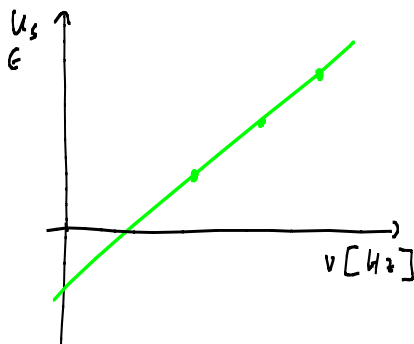
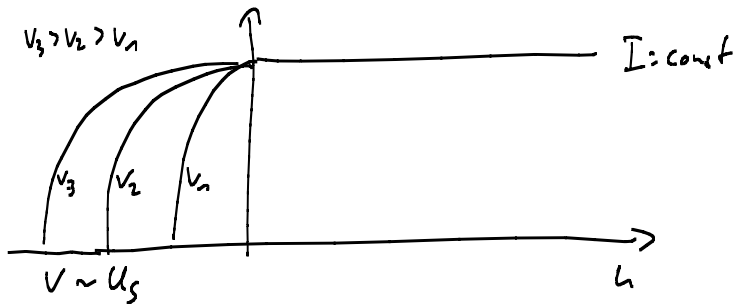
- gelb:  $\lambda = 578 \text{ nm}$  ,  $\nu = 5,17 \cdot 10^{14} \text{ s}^{-1}$
- grün:  $\lambda = 546 \text{ nm}$  ,  $\nu = 5,45 \cdot 10^{14} \text{ s}^{-1}$
- blau:  $\lambda = 436 \text{ nm}$  ,  $\nu = 6,88 \cdot 10^{14} \text{ s}^{-1}$

$U > 0$  :  $I_{\text{photo}} \sim \text{Photonenstrom}$  ( $\nu = \text{const}$ )

$U < 0$  :  $I_{\text{photo}}$  nimmt ab

$U = -U_s$  :  $I_{\text{photo}} = 0$

Photonenstrom konstant



Erwartung: Licht ist Welle, Energie ist verteilt über die Welle  
Elektronen absorbieren kontinuierlich das Licht

$$(E_{\text{kin}}) \quad k = c \cdot I \cdot A \cdot t$$

$\uparrow$  Absorb. Koef.     $\uparrow$  Photonenstrom     $\uparrow$  wirksame Fläche     $\leftarrow$  Zeit

$$k_{\text{max}}^e = c \cdot I \cdot A \cdot t - \phi \quad \leftarrow \text{Ausdriftsarbeit} \sim I \cdot t$$

$$E_0 \cdot t \neq f(\nu) \quad \Leftarrow$$

- kleine  $I$  : Beginn des Photonstroms verzögert

$$\frac{E_{\text{kin max}} + \phi}{c \cdot I \cdot A} = t_{\text{min}} \sim \sigma(\text{Tagen})$$

-  $U_s \sim \nu \quad \Leftarrow$

Einstein:  $E_{\text{kin max}} = h\nu - \phi \quad \neq f(I), \neq f(t)$

$\uparrow$   
quantisierte Photonen

$$E_{\text{kin max}} = U_s e \Rightarrow U_s = \frac{h\nu - \phi}{e}$$

$$\frac{dU_s}{d\nu} = \frac{h}{e} \Rightarrow \frac{\Delta U}{\Delta \nu} \cdot e = h$$

Bestimmung von  $h$  aus Experiment

$$h = \frac{0,82 \text{ V}}{2 \cdot 10^{14} \text{ Hz}} \cdot 1,6 \cdot 10^{-19} \text{ C} \approx 6 \cdot 10^{-34} \text{ W s}^2$$

=> Licht wirkt nicht wie eine Welle, sondern wie eine Abfolge von Teilchen.

$$E = h\nu, p = \frac{E}{c}$$

## 2.4. Röntgenstrahlen & Compton Effekt

Röntgen (1895)

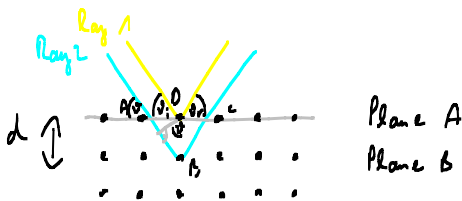
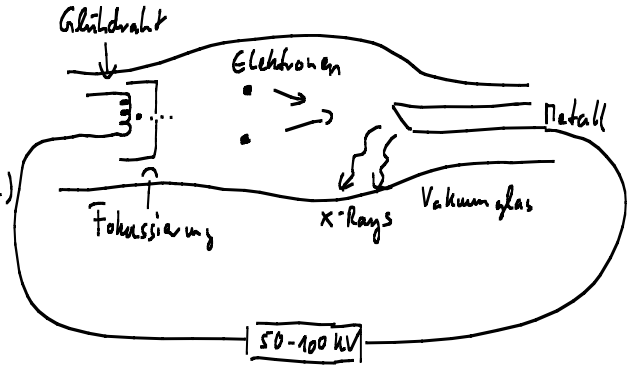
"Bremsstrahlung"

$$\lambda_{\text{typisch}} \approx 10^{-10} \text{ m} = 0,1 \text{ nm}$$

EM-Strahlung

Bragg & Bragg (1912)

$$v_i = v_m = f(\lambda)$$



$$\frac{AB}{d} = \cos \psi$$

$$\Delta s = \overline{AB} + \overline{BC} = 2d \cos \psi = n \cdot \lambda$$

$$n\lambda = 2d \sin \varphi$$



Spektrum auf Filament  $\rightarrow \lambda$  bestimmen

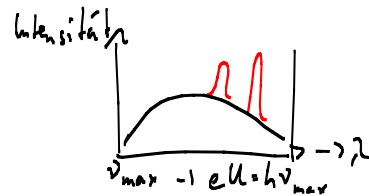
Spektrum

- Kontinuum

• alle  $e^-$  gleiche Energie

• Stoßparameter kontinuierlich (bestimmt Bremswirkung)

• höchste Frequenzen



$$E_k = eU_{\text{Anode}} = h\nu_{\text{max}} = \frac{hc}{\lambda_{\text{min}}}$$

$$U_{\text{Anode}} \sim \frac{1}{\lambda_{\text{min}}}$$

• Diskrete Linien  $\lambda_{\alpha}, \lambda_{\beta}$

- abhängig vom Material

- Hinweis auf atomare Energieniveaus

• Bragg-Reflexion-Wellen

Compton Effekt (1922)

Wechselwirkung EM-Strahlung mit Elektronen

klassisch

- elastische Streuung an freien  $e^-$

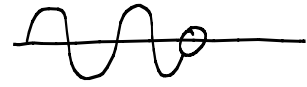
Thompson-Streuung



- elastische Streuung an gebundenen  $e^-$  Rayleigh-Streuung

- inelastische Streuung an freien  $e^- \rightarrow$  Erwartung

$v_{nach} \leq v_{vor}$   
erzwungene Schwingung



• Beschleunigung in Ausbreitungsrichtung der EM-Welle

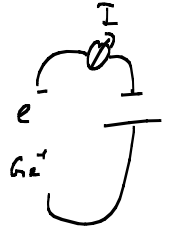
•  $v_{nach} = f$  (Einwirkzeit der EM-Welle auf  $e^-$ )

**Versuch**

$^{228}\text{Ac}$

$\gamma$

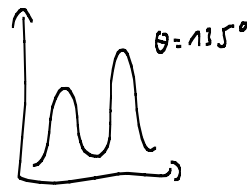
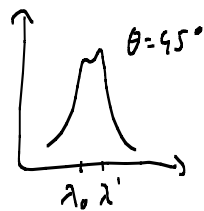
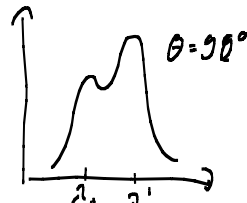
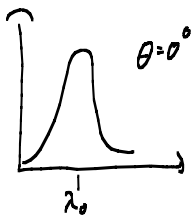
60 keV



- $0^\circ \sim 60 \text{ keV}$
- $45^\circ \sim 58 \text{ keV}$
- $90^\circ \sim 55 \text{ keV}$
- $135^\circ \sim 52 \text{ keV}$



↑ Intensität  $\sim \lambda$



-  $\lambda$  der einfallende Welle ändert sich unabhängig von der Intensität der einfallenden Strahlung und der Einwirkzeit

-  $\lambda_{streu} = f(\text{Streuwinkel})$

$\Rightarrow$  vollständige Beschreibung durch klassische Stoß  $E$  &  $\vec{p}$  - Erhaltung

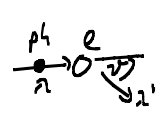
$E_{ph} = h\nu$

$E_e = m_0 c^2$

$p_{||,ph} = \frac{h\nu}{c}$

$p_{e^-,||} = 0$

$$p_{\perp,ph} = 0 \left\{ \begin{array}{l} \lambda - \lambda' \\ = \frac{h}{m_0 c} (1 - \cos \vartheta) \end{array} \right.$$



$\vartheta = 0^\circ \rightarrow \lambda' = \lambda$

$\vartheta = 90^\circ \rightarrow \lambda' - \lambda = \frac{h}{m_0 c}$

$\vartheta = 180^\circ \rightarrow \lambda' - \lambda = \frac{2h}{m_0 c}$

$= \lambda_c(90^\circ) = \frac{h}{m_0 c} = \lambda_c$

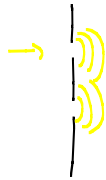
Comptonwellenlänge

$\lambda_c = 2,43 \cdot 10^{-12} \text{ m} = 2,43 \text{ pm}$

• freie Elektronen?

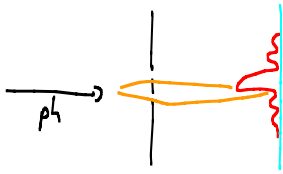
$c \rightarrow$  Bindungsenergie  $\sim 4 \text{ eV}$   
 $E_{ph} = 60 \text{ keV} \leftarrow$

## Doppelspalt



Einzelspalt

Doppelspalt



- wenig Intensität ("einzelne Photonen"), woher weiß das Photon, von der Welle / wo es hin muss?

## 3. Teilchennatur der Materie

3.1. historisch

400 v. Chr.

Demokrit

Leukip

1772

Lavoissier: Erhaltung der Materie

1803

Dalton

1811

Avogadro

1833

Faraday: Gesetz der Elektrolyse

$$m = \frac{q \cdot \text{Molmasse}}{96500 \text{ C} \cdot \text{Valenz}} \quad [\text{g}]$$

-> Atomare Struktur,  $\ominus$ ,  $\oplus$ -Teilchen

## 3.2 Elektron

$$\vec{F} = -e \vec{E} = -e \frac{u}{d} \vec{e}_y$$

$$\vec{F} = m_e \vec{a}$$

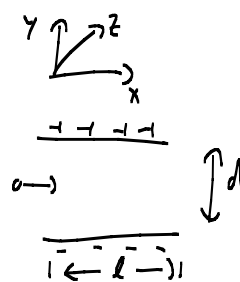
$$\vec{a} = -e \frac{u}{d m_e} \vec{e}_y$$

$$\vec{v}_y = \vec{a} \cdot t \Rightarrow t = \frac{e}{v_x}$$

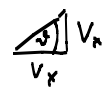
$$\vec{v}_y = \frac{-e u t}{d m_e v_x}$$

$$\frac{v_y}{v_x} = \tan \vartheta = \frac{|e| u t}{d m_e v_x^2}$$

$$\frac{e}{m} = \frac{d v_x^2 \vartheta}{u t}$$



Thompson-Versuch



$$\vartheta \ll 1 \Rightarrow \tan \vartheta \approx \vartheta$$

magn. Gegenfeld

$$q \cdot \vec{E}' = q \vec{v} \times \vec{B}' \quad \vec{v} \rightarrow v_x$$

$$v_x = \frac{E}{B} = \frac{u}{B d}$$

$$\frac{e}{m} = \frac{d^2 r}{dt^2} \frac{u^1}{B^2 d^2} = \frac{u^2}{B^2 R d}$$

- Thompson  $\frac{e}{m_e} = 1,76 \cdot 10^{11} \text{ C/kg}$
- Elektrolyse H  $\frac{q_H}{m_H} = 10^8 \text{ C/kg}$
- wenn  $|q_H| = |q_e| \Rightarrow m_e = \frac{m_H}{1833}$  heute  
(1760) historisch

- $\frac{e}{m_e}$   $\rightarrow$  universelle Konstante / Baustein
- Elektron . griechisch "Bernstein" 1891 Stoney
- Millikan-Versuch 1910

Öl  $\odot$   $\uparrow$  Reibung  $6\pi\eta r v = F_R$   $\eta$  Viskosität  $v$  Endgeschwindigkeit  $a$  Radius  
 $\downarrow$  Gravitation  
 $\frac{4}{3} \pi a^3 \rho g = F_G$

$a = \sqrt{\frac{9\eta v}{2\rho g}} \leadsto m = \frac{4}{3} \pi a^3 \rho$

Freie Fall

$qE = mg \Rightarrow q \frac{S}{E} = m$

Messung  $q = n \cdot e$   $n \in \mathbb{N}$

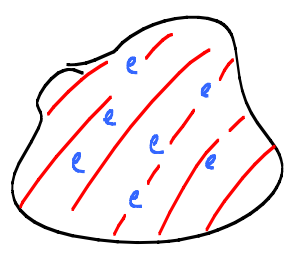
Schweben

$e = 1,60217733 \cdot 10^{-19} \text{ C}$

Energie  $E_{el} = qU$  [J] [eV] [eV]  $\xrightarrow{1,6 \cdot 10^{-19}}$  [J]

### 3.3 Atommodelle

- \* Thompson 1898
- Masse ist kontinuierlich verteilt
- Elektronen diskret eingebettet
- plum-pudding



#### ABER

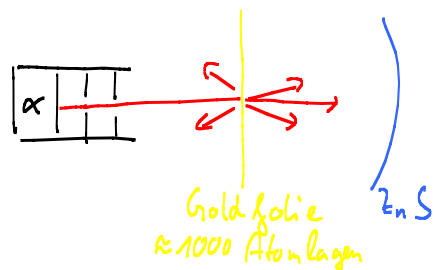
- diskrete Atomspektren?
- Breites H-Spektrum

- \* Rutherford

Streuung von  $\alpha$ -Teilchen

(aus Radon)

$v_{\alpha} \sim 2 \cdot 10^4 \text{ km/sec}$



- kleine Streuung  $\theta$
- Rückstreuung  $\Leftarrow$  mit kontinuierlicher Massenverteilung
- auch Rückstreuung  $\theta$

$\rightarrow$  Impulssatz lässt erwarten: große diskrete Masse!

$$v_1' = v_1 \frac{m_1 - m_2}{m_1 + m_2} + v_2 \frac{2m_2}{m_1 + m_2}$$

$v_1, v_2$  Vorher  
 $v_1', v_2'$  nachher

$$v_1 = v_\alpha \sim 2 \cdot 10^7 \text{ m/sec}$$

$$v_2 = 0$$

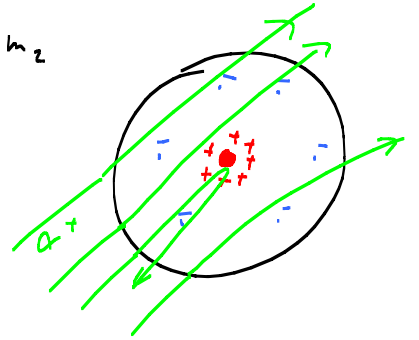
$$m_1 = m_\alpha$$

$$m_2 = m_{Au} \left. \vphantom{m_2} \right\} m_{Au} \sim 197 \gg 4 \sim m_\alpha = m_1 + m_2 \approx m_2$$

$$v_1' = v_1 \frac{m_1 - m_2}{m_2} = -v_1 \frac{m_2 - m_1}{m_2} \approx -v_1$$

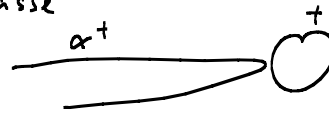
$\Rightarrow$  Atom hat keine kontinuierliche Massenverteilung

$\Rightarrow$  größter Teil der Masse als Punktmasse



$$F_{ee} = \frac{1}{4\pi\epsilon_0} \frac{q_1 q_2}{r^2} = \frac{1}{4\pi\epsilon_0} \frac{Ze \cdot Ze}{r^2}$$

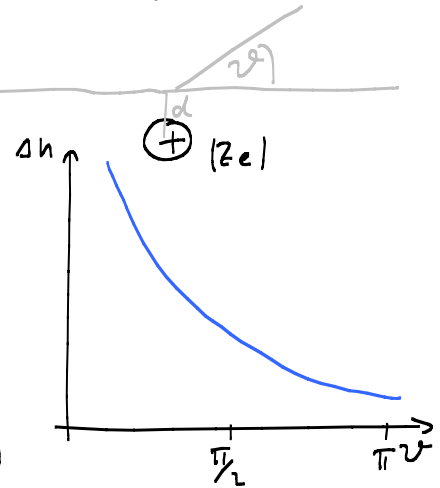
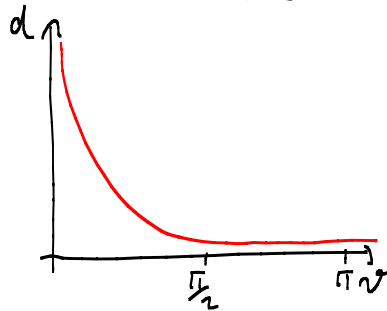
$Z$ : Kernladungszahl / Ordnungszahl



$$d = f(\theta)$$

Anzahl  $\alpha$  in  $\vartheta$   $\propto d \vartheta$

$$\Delta n = f(\vartheta)$$



$$\Delta n = \frac{Z^2 e^2 N n A}{(4\pi\epsilon_0)^2 4R^2 (\frac{1}{2} m_\alpha v_\alpha^2)^2} \sin^4(\frac{\vartheta}{2}) \sim \sin^{-4}(\frac{\vartheta}{2})$$

$N$ : Flächendichte der Au-Atome [ $\frac{1}{m^2}$ ]

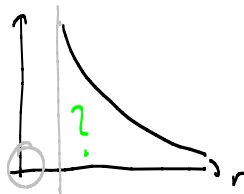
$n$ : Zahl der  $\alpha$ -Teilchen/Zeit [ $\frac{1}{sec}$ ]

$A$ : Fläche des Detektors

$\Rightarrow Z$  bestimmen

Zentraler Stoß

$$F \sim \frac{1}{r^2}$$



Zentraler Stoß  $\rightarrow$  große  $E_{kin}$   
 $\alpha$  trifft Kern

1919  $\alpha: 7,7 \text{ MeV auf } \text{Al} (Z=13)$

$$E_{\text{pot}} = \int_{\text{Anfang}}^{\text{Ende}} \vec{F} ds = \int_{\infty}^{d_{\text{min}}} -\frac{1}{4\pi\epsilon_0} \frac{q_1 q_2}{s^2} ds$$

$$= \frac{2Ze^2}{4\pi\epsilon_0} - \left[ -\frac{1}{s} \right]_{\infty}^{d_{\text{min}}} = \frac{2Ze^2}{4\pi\epsilon_0} \frac{1}{d_{\text{min}}}$$

$E_{\text{kin}} \rightarrow E_{\text{pot}}$

$$d_{\text{min}} = \frac{2Ze^2}{4\pi\epsilon_0} \cdot \frac{1}{E_{\text{kin}}} = 4,5 \cdot 10^{-15} \text{ m} = 4,9 \text{ fm}$$

- $\sim 10^{-14}$  kleiner als typische Atombdurchmesser
- Nukleare Dichte  $\sim 2,4 \cdot 10^{17} \text{ kg/m}^3 \rightarrow$  Neutronensterne
- Neue Fragen
  - Wie hält der Kern gegen elektr. Kräfte zusammen?
  - $Z$   $\oplus$ -Teilchen im Kern, wo ist die restliche Masse?
  - wo sind  $e^-$  und wie bewegen sie sich?

### \* Bohr'sches Atommodell

Kirchhoff, Bunsen, Fraunhofer, Ångström ( $1 \text{ Å} = 0,1 \text{ nm}$ )

$\Rightarrow$  H-Atom

$$\frac{1}{\lambda_{f,i}} = R \left( \frac{1}{n_f^2} - \frac{1}{n_i^2} \right) \quad n_f, n_i \in \mathbb{N} \quad R: \text{Rydbergkonstante } 1,0973732 \cdot 10^7 \frac{1}{\text{m}}$$

$\frac{1}{1888} \approx \frac{1}{\mu\text{m}}$

$n_f = \text{const.}$   $n_i = f_{f,i} \rightarrow$  Spektrallinienserie

Seriengrenze  $S_f$  ↓

$n_f = 1 =$  Lyman-Serie  $n_i = 2 \dots \infty$

$\sim 91,1 \text{ nm}$

$n_f = 2 =$  Balmer-Serie  $n_i = 3 \dots \infty$

$\sim 364,5 \text{ nm}$

$n_f = 3 =$  Paschen-Serie  $n_i = 4 \dots \infty$

$\sim 820,0 \text{ nm}$

$n_f = 4 =$  Brackett-Serie  $n_i = 5 \dots \infty$

$\sim 1458 \text{ nm}$

$n_f = 5 =$  Pfund-Serie  $n_i = 6 \dots \infty$

$\sim 2,278 \text{ nm}$

$$\frac{1}{\lambda_{f,sg}} = R \frac{1}{n_f^2}$$

Bohr:  $e^-$  außerhalb des Kerns

$e^-$  bewegt sich auf Kreisbahnen (Coulombkraft)

Planetenmodell



$$F_e = \frac{h v^2}{r}$$

$$F_e = \frac{1}{4\pi\epsilon_0} \frac{e^2}{r^2}$$

$$v = \sqrt{\frac{e}{4\pi\epsilon_0 m_e r}}$$

$$E_{kin} = \frac{1}{2} m v^2$$

$$E_{pot} = -\frac{e^2}{4\pi\epsilon_0 r}$$

$$E = E_{kin} + E_{pot} = -\frac{e^2}{8\pi\epsilon_0 r}$$

↑  
Bindungsenergie

entspricht  $n_f = 1$   $n_i = \infty$

$$E = h\nu = \frac{hc}{\lambda} = 2,18 \cdot 10^{-18} \text{ J} = 13,6 \text{ eV}$$

$$\lambda_{Sch} = 91,1 \text{ nm}$$

$$\Rightarrow r_0 = \frac{e^2}{8\pi\epsilon_0 E_{tot}} = 5,28 \cdot 10^{-11} \text{ m} = 53 \text{ pm} \quad \text{Bohrscher Radius } r_0$$

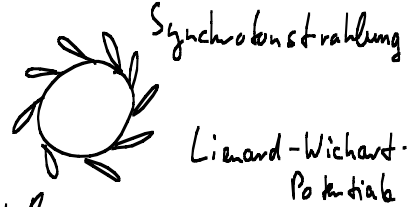
$$v = 2,2 \cdot 10^6 \text{ m/sec}$$

Mechanik! Elektrostatik!

Problem: Elektrodynamik (Maxwell)

beschl. Ladungen strahlen EM-Wellen ab

$\Rightarrow$  Energieverlust



$\tau = 13 \text{ psec} \Rightarrow$  klassisches Atom nicht stabil!

- $e^-$  Coulombkraft, Kreisbahnen
- bestimmte Bahnen sind stabil (keine Abstrahlung)  $E = \text{konst}$
- EM-Strahlung wenn  $e^-$  zwischen stabilen Bahnen wechselt

Bohrsche Postulate

$$E_i - E_f = h\nu$$

- Größe der Bahn wird durch Quantisierung des Bahndrehimpulses bestimmt

$$m_e v r = n \hbar \quad \hbar = \frac{h}{2\pi}$$

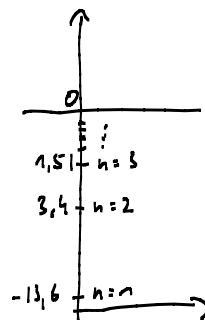
$$v = \sqrt{\frac{e}{4\pi\epsilon_0 m_e r}}$$

$$\left(\frac{n\hbar}{m_e r}\right)^2 = \frac{e^2}{4\pi\epsilon_0 m_e r} \quad \rightarrow \quad r = \frac{4\pi\epsilon_0 n^2 \hbar^2}{m_e e^2} \quad n = 1, 2, 3, \dots$$

$$= 5,28 \cdot 10^{-11} \text{ m } n^2 \quad r(n=1) = r_0 \quad \text{Bohrscher Radius}$$

$$\boxed{r = r_0 n^2}$$

$$E_{total}^H = -\frac{e^2}{8\pi\epsilon_0 r_0} \frac{1}{n^2} = -\frac{13,6 \text{ eV}}{n^2}$$



$$h\nu = E_i - E_f = -\frac{13,6 \text{ eV}}{n_i^2} - \frac{13,6 \text{ eV}}{n_f^2} = 13,6 \text{ eV} \left( \frac{1}{n_f^2} - \frac{1}{n_i^2} \right)$$

$$\left( 13,6 \text{ eV} = \frac{e^4 m_e}{8 \epsilon_0 h^2} \right)$$

$$\frac{1}{\lambda} = \underbrace{\frac{e^4 m_e}{8 \epsilon_0 h^3 c}}_{\text{Rydbergkonstante}} \left( \frac{1}{n_f^2} - \frac{1}{n_i^2} \right)$$

Triumph für Bohr!

Gilt ebenso für 1-Elektronensysteme:  $\text{He}^+$  ...

Beispiel: Radionübergänge

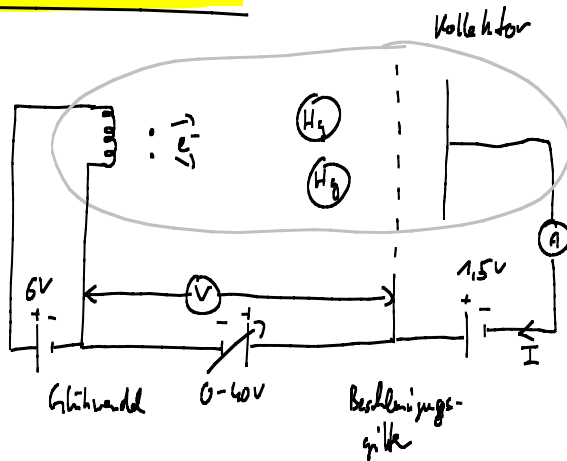
$$\frac{1}{\lambda} = R \cdot \left( \frac{1}{n^2} - \frac{1}{(n+1)^2} \right) \quad n = 109$$

$$\text{H}109\alpha \rightarrow \lambda \sim 6 \text{ cm}$$

Fragen: - Quantisierung ad hoc  
- Strahlungsfreiheit best. Bahnen?

Aber: - Erfolg!  
Erklärung für Absorptions- und Emissionsspektren

→ Frank-Hertz-Versuch



#### 4. Wellennatur der Materie

4.1. de Broglie Wellenlänge

- Photonen  $\left\{ \begin{array}{l} \text{Welleneigenschaften} \\ \text{Teilcheneigenschaften} \end{array} \right.$
- Materie  $\left\{ \begin{array}{l} \text{Teilcheneigenschaften} \\ \text{Welleneigenschaften?!} \end{array} \right.$

Photon  $mc^2 = h\nu$

$$mc = p = \frac{h\nu}{c} = \frac{h}{\lambda} \rightarrow \begin{array}{l} \hbar = \frac{h}{2\pi} \\ \hbar k = \frac{2\pi}{\lambda} \end{array} \quad (1924)$$

Materie  $p = mv = \gamma m_0 v$

$$\lambda = \frac{h}{p} = \frac{h}{\gamma m_0 v} \sim \frac{1}{m_0} \sim \frac{1}{m}$$

$\parallel$   
 $m_0 \gamma$

Bsp.: a) dB-Wellenlänge  $\lambda$  eines Tennisballs:

$$\lambda_{TB}^{dB} = \frac{h}{m_{TB} v} = \frac{6,63 \cdot 10^{-34} \text{ Js}}{0,046 \text{ kg} \cdot 30 \frac{\text{m}}{\text{sec}}} = 4,8 \cdot 10^{-34} \text{ m}$$

$$v = 30 \frac{\text{m}}{\text{sec}} \ll c \Rightarrow m = m_0 = 46 \text{ g}$$

$$\lambda_{TB}^{dB} \ll \varnothing_{TB}$$

b) dB- $\lambda$  eines  $e^-$

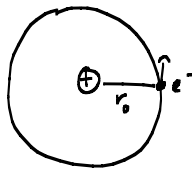
$$\lambda_{e^-}^{dB} = \frac{h}{m_e \cdot v_e} = 3,3 \cdot 10^{-10} \text{ m}$$

$$r_0 \sim 5,3 \cdot 10^{-11} \text{ m}$$

$$v_e = 2,2 \cdot 10^6 \frac{\text{m}}{\text{sec}} \text{ (Bohrradius)}$$

$$m_e = 9,1 \cdot 10^{-31} \text{ kg}$$

$$\Rightarrow \lambda_{e^-}^{dB} \sim r_0 \quad \text{Einfluss des Wellencharakters}$$



$$r_0 = 5,28 \cdot 10^{-11} \text{ m}$$

$$U = 2\pi r_0 = 3,3 \cdot 10^{-10} \text{ m}$$

$$\lambda_{e^-}^{dB}(r_0) = U(r_0) \quad \text{1. Bohr'sche Bahn}$$

- Materiewellen essentiell für atomare Vorgänge
- Welleneigenschaften dominieren Verhalten auf atomaren Skalen
- H-Atom

de Broglie  $\lambda$  in der  $n$ -ten Bahn

$$\lambda_{e^-}^{dB}(n\text{-te Bahn}) \cdot 2\pi r_n = n h$$

$$\lambda_{e^-}^{dB}(n\text{-te Bahn}) = \frac{h}{m_e v_e^n} = \frac{h}{m_e} \frac{m_e v_n}{n h} = \frac{2\pi r_n}{n}$$

$$m_e v_e^n r = n h$$

$$\lambda_{e^-}^{dB}(n\text{-te Bahn}) = \frac{2\pi r_n}{n}$$

$$r_n = r_0 n^2$$

$$= 2\pi r_0 n = n \lambda_{e^-}^{dB}(1)$$

## 4.2 Teilchenbeugung

Davisson-Germer (1927 USA), Thompson (1927 GB)



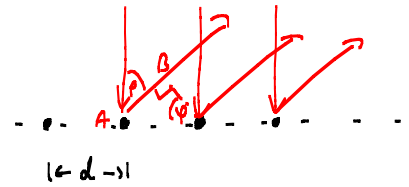
- elastische Streuung von langsamen Elektronen an polykristallinem Nickel

$$E_e = 54 \text{ eV}$$

$$v_{\text{max}} = 50^\circ$$

$$\lambda_e^{\text{dB}} = \frac{h}{m_e v_e}, \quad E_e = eU = \frac{1}{2} m_e v^2 \Rightarrow v = \sqrt{\frac{2eU}{m_e}}$$

$$= \frac{h}{\sqrt{2eU m_e}} = \dots \begin{matrix} 0,167 \text{ nm} \\ - 1,67 \cdot 10^{-10} \text{ m} \end{matrix}$$



$$AB = d \sin \varphi = n \lambda$$

Nickelatome als Gitter

$$d \sin \varphi = n \lambda$$

$$\uparrow$$

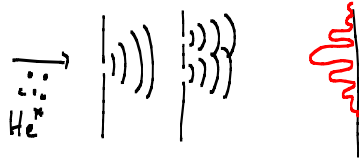
2,15 Å (aus Röntgenbeugung)

$$\underline{n \lambda} = 2,15 \cdot 10^{-10} \text{ m} \cdot \sin 50^\circ = 1,65 \text{ Å}$$

$$\sin 51^\circ = 1,67 \text{ Å}$$

Atomstrahl in der Fernz

He-Strahl gleicher Richtung und Geschwindigkeit



Abstand der Interferenzlinien  
→ dB-Wellenlänge der He-Atome

### 4.3. Welle-Teilchen-Dualismus

- Wellennatur atomarer Teilchen

Klassische Physik ↯

- Teilchen sind lokalisiert

können nur 1 Öffnung (in Doppelspaltexperiment) passieren

- Warum Interferenzen?

keine Funktion der Intensität

⇒ Unsere klassische Anschauung vom Wesen der Materie und Strahlung (EM) ist falsch.

⇒ Materie ist nicht nur lokalisiert und Strahlung nicht nur ausgedehnt.

- Der Ort des Teilchens ist der Ort der Wirkung einer phys. Entität, das wir Quant nennen.

⇒ Bestimmung des Ortes eines Quants ist nur über seine Wirkung

→ ohne Wirkung kein Ort!

- Ein Quant ändert sein "Wesen"/"Zustand" mit jeder Wirkung

=> keine Bahn

Quant: Physikalisches Konstrukt, das im Raum-Zeit-Gefüge Wirkung entfaltet.

Die Zustandsänderung führt zu einer diskreten physikalischen Messgröße.

=> Wellen transportieren Wahrscheinlichkeiten für das Auftreten von Wirkungen.

Impuls und Energie der Quanten manifestieren sich in  $v, \lambda, \dots$  der Wellen.

$$E = h\nu \quad p = \hbar k$$

-> Quanten und Wellen nicht direkt ergänzbar

QM: Lehre vom Verhalten der Quanten

#### 4.4 Wellenfunktion

$$y(t) = A \cos(2\pi\nu t + \varphi) \quad \text{zeitlich}$$

$$y(x) = A \cos(2\pi x/\lambda + \varphi') \quad \text{räumlich}$$

$$y(x,t) = A \cos\left(\underbrace{2\pi\nu t - 2\pi \frac{x}{\lambda}}_{=0} + \varphi''\right)$$

Phasengeschwindigkeit  $v\lambda = \frac{x}{t} = v_0$

$$2\pi\nu = \omega \\ 2\pi/\lambda = k$$

$$v_0 = v_p = \frac{\omega}{k}$$

$$\Psi(\vec{r}, t) = A \cos(\omega t - \vec{k}\vec{r}) \quad \text{oder} \quad \Psi(\vec{r}, t) = A e^{+i(\omega t - \vec{k}\vec{r})}$$

$\Psi$ : Wahrscheinlichkeitswelle

mit  $\Psi(\vec{r}, t)$  als Wahrscheinlichkeitswelle ist  $\Psi^* \Psi$  die Wahrscheinlichkeit die Wirkung des Quanten bei  $\vec{r}, t$  zu messen

$$(e^{i\varphi})^* = e^{-i\varphi}$$

de Broglie:  $v = v_0 \quad \omega = \omega_0 \quad \lambda_{dB} = \frac{h}{m_0 v_0}$

$$k_0 = \frac{2\pi}{\lambda_0} \quad p_0 = \hbar k_0$$

$$\Psi(x,t) = A e^{i(\omega t - k_0 x)}$$

$$\Psi^* \Psi = A e^{-i(\omega t - k_0 x)} e^{i(\omega t - k_0 x)} = A^2 = \text{const}$$

=> wir brauchen Wellenpakete:

$$\begin{aligned} |\Psi|^2 &\neq 0 && \text{am Messort} \\ |\Psi|^2 &= 0 && \text{sonst} \end{aligned}$$

#### 4.5 Wellenpakete

$$\Psi(x,t) = \Psi_1(x,t) + \Psi_2(x,t)$$

$$= A_0 [\cos(k_1 x - \omega_1 t) + \cos(k_2 x - \omega_2 t)] = 2 A_0 \cos(k x - \omega t) \cos(\Delta k x - \Delta \omega t)$$

$$\Psi(x,t) = \int_{-\infty}^{\infty} f(k) e^{i(\omega t - kx)} dk$$

Gruppeneschwindigkeit  $v_G = \frac{d\omega}{dk}$   $v_p = \frac{\omega}{k}$

$$v_p = \frac{\omega}{k} \Rightarrow v_G = v_p + k \frac{dv_p}{dk}$$

1)  $v_p$  unabh. von  $\lambda$  :  $v_G = v_p$

2)  $v_p$  abh. von  $\lambda$  :  $v_G \neq v_p$

z.B. Licht im Vakuum

$$\frac{\omega}{k} = v_p = c \quad v_G = c + k \frac{dc}{dk} = c \Rightarrow v_p = v_G$$

$$v_p^{dB} = v \lambda = \frac{\omega}{k} = \frac{mc^2}{h} \frac{h}{mv} = \frac{c^2}{v} > c$$

$$\omega = 2\pi\nu = \frac{2\pi mc^2}{h} = \frac{2\pi \gamma m_0 c^2}{h} = \frac{\gamma m_0 c^2}{h}$$

$$k = 2\pi/\lambda = \dots = \frac{\gamma m_0 v}{h}$$

1)  $v_p = \frac{\omega}{k} = \frac{c^2}{v}$

2)  $v_G = \frac{d\omega}{dk} = \frac{d\omega/dv}{dk/dv} = \dots v$

$v_G = v < c$  Gruppeneschwindigkeit der dB-Wellen ist Teilchengeschw.

$\Rightarrow$  de Broglie-Wellen verhalten sich wie Wellenpakete mit Gruppengeschw.  $v_G = v$ .

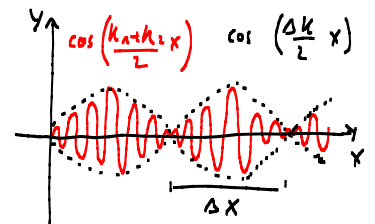
$\Rightarrow$  de Broglie Welle wird als Wahrscheinlichkeitswelle interpretiert.

#### 4.6 Heisenbergsche Unschärferelation

$$\cos\left(\frac{\Delta k}{2} x\right)$$

$$\Rightarrow \frac{\Delta k}{2} \Delta x = \pi$$

$$\Rightarrow \Delta p \Delta x = h$$



$$\Psi(x) = \frac{1}{\sqrt{2\pi}} \int_{-\infty}^{\infty} A(k) e^{ikx} dk$$

$A(k)$ : Spektrum der vorkommenden Wellenzahlen

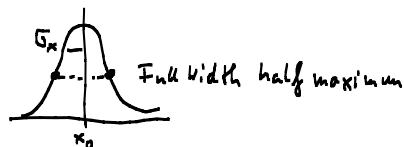
$$A(k) = \frac{1}{\sqrt{2\pi}} \int_{-\infty}^{\infty} \Psi(x) e^{-ikx} dx$$

Fouriertransformation

Spezialfall: Gauss

$$\Psi(x,\omega) = A e^{-\frac{(x-x_0)^2}{2\sigma_x^2}} e^{-ik_0 x}$$

$$\Psi^* \Psi = A^2 e^{-\frac{(x-x_0)^2}{\sigma_x^2}}$$



$$\Psi(x,0) = \int_{-\infty}^{\infty} B(k) e^{-ikx} dk$$

$$B(k) = \frac{\sigma_x}{\sqrt{\pi}} e^{-\frac{\sigma_x^2}{2}(k-k_0)^2}$$

$$B(p) = \frac{\sigma_x}{\sqrt{\pi}} e^{-\frac{(p-p_0)^2}{2(\hbar/\sigma_x)^2}}$$

$\Psi(x)$  gaussianisch, Breite  $\sigma_x \Rightarrow FT$  auch gaussianisch Breite  $\sim \frac{1}{\sigma_x}$

$$\left| 4\sigma_x^2 = \frac{\hbar^2}{\sigma_x^2} \right| \Rightarrow \left| \sigma_x \sigma_p = \frac{\hbar}{2} \right|$$

$$\Rightarrow \left| \sigma_x \sigma_p \geq \frac{\hbar}{2} \right|$$

## 5.1-dim QM

### 5.1. Teilchen im Kasten

- ein geschränkte Bewegungsfreiheit
- Randbedingungen!

Wahrscheinlichkeitswelle WW

- verschwindet am Rand  
 $x=0, x=L$  z.B.

$$\Psi(\text{Rand}) = 0$$

→ Knoten

- nur diskrete  $\Psi$  haben Knoten

bei  $x=0$  und  $x=L$

$$\Rightarrow \lambda_n = \frac{2L}{n} \quad n \in \mathbb{N}$$

⇒ Einschränkung der Impulse ( $p = \hbar k$ )

$$\rightarrow \text{Energie } E = \frac{p^2}{2m} = \frac{\hbar^2}{2m\lambda^2}$$

$$E_n = \frac{n^2 \hbar^2}{8mL^2}$$

▽ • Quant kann nicht bel. Energien haben

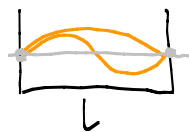
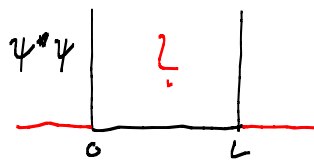
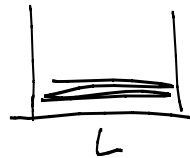
• Atom eine Art Kasten

• Wegen  $\Delta x \Delta p \geq \frac{\hbar}{2} \Rightarrow \Delta p \neq 0 \rightarrow E \neq 0$

• Da  $\hbar$  klein, Quantisierung nur für kleine  $n, L$  wichtig

• Aufenthaltswahrscheinlichkeit

$$|\Psi|^2 = \Psi^* \Psi \text{ im Kasten} \quad \int_{\text{Kasten}} \Psi^* \Psi = 1 \quad \rightarrow \quad \int_{-\infty}^{\infty} \Psi^* \Psi = 1$$



- $e^-$  im Potentialkasken des Kerns, Aufenthaltswahrscheinlichkeiten
  - Orbitale
  - im Kern
  - Wechselwirkungen mit dem Kern

## S.2. Erwartungswert

Wie muss Information aus  $\Psi(x, y, z, t)$  gezogen werden?

$\Psi \rightarrow |\Psi|^2$  einzelnes Teilchen

Klassisch  $x_1, x_2, \dots, x_n$  Ork

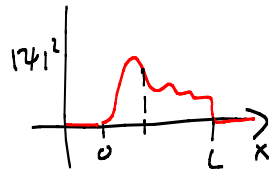
$N_1, N_2, \dots, N_n$  Häufigkeit des Auftretens

Frage: Mittlerer Ort des Teilchens?  $\sum_{i=1}^n N_i$  Experimente

$$\bar{x} = \frac{N_1 x_1 + N_2 x_2 + \dots + N_n x_n}{N_1 + N_2 + \dots + N_n} = \frac{\sum_{i=1}^n x_i N_i}{\sum_{i=1}^n N_i}$$

QM Ersetze  $N_i$  durch  $|\Psi_i|^2 dx$

Wahsch. das Quant im Intervall  $dx$  bei  $x_i$  zu finden



$$\langle x \rangle = \frac{\int_{-\infty}^{\infty} x |\Psi|^2 dx}{\int_{-\infty}^{\infty} |\Psi|^2 dx = 1} = \int_{-\infty}^{\infty} x |\Psi|^2 dx = \int_{-\infty}^{\infty} \Psi^* x \Psi dx$$

↑  
Messgröße

$$\langle G(x) \rangle = \int_{-\infty}^{\infty} \Psi^* G(x) \Psi dx$$

Bsp.: Impuls

$$\langle p \rangle = \int_{-\infty}^{\infty} p |\Psi|^2 dx = \int_{-\infty}^{\infty} p \cdot |k(p)|^2 dx$$

$$\langle p \rangle = \int_{-\infty}^{\infty} \Psi^* \left( \frac{\hbar}{i} \frac{d}{dx} \right) \Psi dx$$

↑  
Operator

$$\Psi = A e^{i(kx - \omega t)} \quad | \quad p = \hbar k$$

$$\Psi(x) = \int_{-\infty}^{\infty} c(p) \frac{1}{\hbar} e^{i \frac{p}{\hbar} x} dp$$

$$\left. \begin{array}{l} \text{Impulsoperator} \quad \frac{\hbar}{i} \frac{d}{dx} \\ \text{Energieoperator} \quad -\frac{\hbar^2}{2m} \frac{d^2}{dx^2} \end{array} \right\} \parallel E = \frac{p^2}{2m}$$

Im 3-dim. Fall:  $x \rightarrow \vec{r}$

$$\langle p \rangle = \int_{-\infty}^{\infty} \Psi^*(\vec{r}) \frac{\hbar}{i} \frac{d}{d\vec{r}} \Psi(\vec{r}) d\vec{r}$$

3dim Impulsoperator

$$\text{Energieoperator } \frac{\hbar^2}{2m} \frac{\partial^2}{\partial r^2} = \frac{\partial^2}{\partial x^2} + \frac{\partial^2}{\partial y^2} + \frac{\partial^2}{\partial z^2} = \Delta$$

$$\boxed{-\frac{\hbar^2}{2m} \Delta}$$

$$\langle E_{kin} \rangle = \int_{-\infty}^{\infty} \psi^* \left( -\frac{\hbar^2}{2m} \Delta \right) \psi \, d\vec{r}$$

$$\langle E_{pot} \rangle = \int_{-\infty}^{\infty} \psi^* U(\vec{r}) \psi \, d\vec{r}$$

$$\langle E_{ges} \rangle = \int_{-\infty}^{\infty} \psi^* \underbrace{\left( -\frac{\hbar^2}{2m} \Delta + U(\vec{r}) \right)}_{\text{Gesamtenergie}} \psi \, d\vec{r}$$

### 5.3. Schrödingergleichung

Raumzeitliche Entwicklung der Wellenfunktionen

$$\boxed{-\frac{\hbar^2}{2m} \frac{\partial^2 \psi}{\partial x^2} + U(x) \psi = i\hbar \frac{\partial \psi}{\partial t}}$$

$$\bullet \left( -\frac{\hbar^2}{2m} \frac{\partial^2}{\partial x^2} + U(x) \right) \psi$$

• Differentialgleichung  $\rightarrow E_n$  sind Eigenwerte

•  $\exists ? \psi, \phi$  mit  $\psi(x,t) = \psi(x) \cdot \phi(t)$   $\rightarrow$  häufig ja! // Separation  
 $\rightarrow$  oben ansetzen

$$\Rightarrow -\frac{\hbar^2}{2m} \frac{\psi''(x)}{\psi(x)} + U(x) = i\hbar \frac{\dot{\phi}(t)}{\phi(t)} \quad \forall x, t$$

$\Rightarrow$  const. = const. Erhaltungsgröße in Raum & Zeit  
 $= E$

rechts:  $i\hbar \dot{\phi}(t) = E \phi(t) \Rightarrow \phi(t) = e^{-i\omega t}$

$$\left. \begin{aligned} \frac{d\phi}{dt} &= -i\omega \phi(t) \\ \omega &= \frac{E}{\hbar} \end{aligned} \right|$$

zeitliche Entwicklung der Wahrsch. Welle

links:  $\boxed{-\frac{\hbar^2}{2m} \frac{d^2 \psi}{dx^2} + U(x) \psi(x) = E \psi(x)}$

• zeitunabhängige / stationäre Schrödingergleichung

•  $U(x)$  potentielle Energiefunktion der Kraft  $F$

$$F = -\frac{dU}{dx}$$

• Schr. Gl. beschreibt Quanten unter Einfluss von Kräften

• Bsp.: freies Teilchen,  $U(x) = 0$

$$\Rightarrow \psi'' = -\frac{E 2m}{\hbar^2} \psi \quad \Rightarrow \psi = e^{ikx}$$

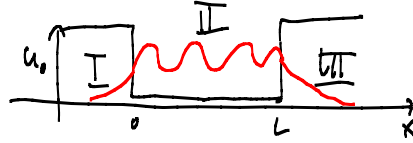
$$\left. \begin{aligned} \psi'' &= -k^2 \psi \\ E &= \frac{p^2}{2m} = \frac{\hbar^2 k^2}{2m} \\ &\dots \end{aligned} \right|$$

Freies Teilchen  
 $\Rightarrow \psi = e^{i(kx - \omega t)}$

$\Rightarrow$  Konkrete Lösungen nur mit  $U(x) \neq 0$ ,  $\frac{\partial U}{\partial x} \neq 0$

### 5.4. Kasten endlicher Höhe

- I  $\Rightarrow U = U_0$
- II  $\Rightarrow U = 0$
- III  $\Rightarrow U = U_0$



- Schrödingergl. gilt für jedes Gebiet separat  $\psi_I, \psi_{II}, \psi_{III}$
- Lösungen müssen stetig an den Grenzen sein

$$\psi_I(x=0) = \psi_{II}(x=0) \quad , \quad \psi_{II}(x=L) = \psi_{III}(x=L)$$

- Ebenso stetig diff'bar

$$\frac{d\psi_I}{dx} \Big|_{x=0} = \frac{d\psi_{II}}{dx} \Big|_{x=0} \quad , \quad \psi'_{II}(x=L) = \psi'_{III}(x=L)$$

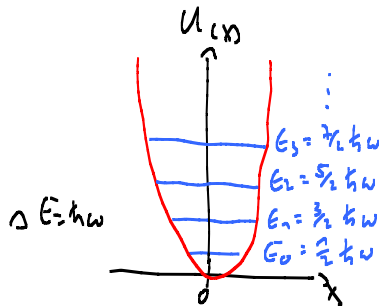
- II Schwingungen d.h.  $\psi_{II}$  komplex

I, III exponentielle Abfälle d.h.  $\psi_{I,III}$  reell ( $\hat{=}$  Totalreflexion Optik)

$\Rightarrow$  Quantisierung der Energie,  $E_n$ , aber bei anderen Werten

$$F = -kx$$

$$U = \frac{k}{2} x^2$$



### 5.5. Tunneln

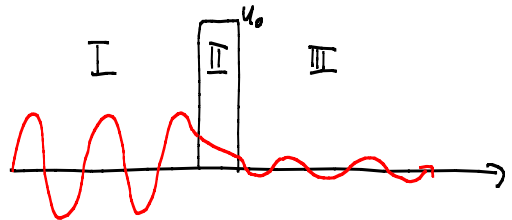
I freies Quard

$$\psi_I(x,t) = A e^{i(kx - \omega t)} + B e^{i(-kx - \omega t)}$$

$$II \quad \psi_{II} = C e^{-dx - i\omega t} + D e^{dx - i\omega t}$$

$$III \quad \psi_{III} = F e^{i(kx - \omega t)} + G e^{i(-kx - \omega t)}$$

$= 0$  ankl. Welle



2 Grenzflächen  $\Rightarrow$  4 Gleichungen für 5 Unbekannte

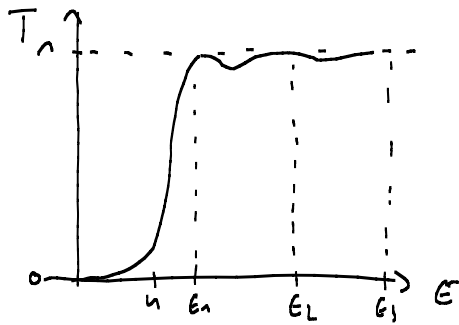
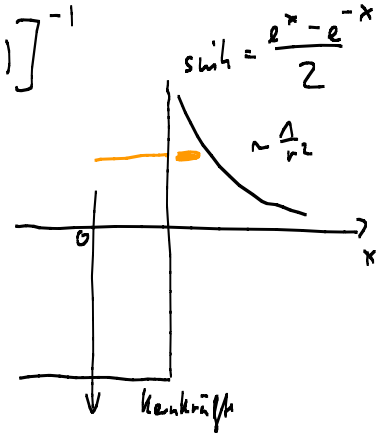
A frei wählen  $\Rightarrow B, C, D, F$

R: Reflexionskoeff.  $R = \frac{B^* \cdot B}{A^* \cdot A}$

T: Transmissionskoeff.  $T = \frac{F^* \cdot F}{A^* \cdot A}$

$$T(E, U, d) = \left[ 1 + \frac{1}{4} \left( \frac{U_0^2}{E(U_0 - E)} \right) \sinh^2(\alpha d) \right]^{-1}$$

$$\alpha = \frac{\sqrt{2m(U_0 - E)}}{\hbar}$$



## 6. 3-dim QM

### 6.1. Teilchen im Kasten

$x \rightarrow \vec{r}$  in Schrödinger-Gleichung

$$-\frac{\hbar^2}{2m} \Delta \Psi + U(\vec{r}) \Psi = i\hbar \frac{\partial \Psi}{\partial t}$$

allgemein

$$\Delta = \frac{\partial^2}{\partial x^2} + \frac{\partial^2}{\partial y^2} + \frac{\partial^2}{\partial z^2}$$

$$\phi(\vec{r}) = e^{-iEt/\hbar} \text{ abtrennen}$$

$$-\frac{\hbar^2}{2m} \Delta \Psi(\vec{r}) + U(\vec{r}) \Psi(\vec{r}) = E \Psi(\vec{r})$$

stationäre Schw.-Gld.

Versuch der Separation (z.B. Quant im Kasten)

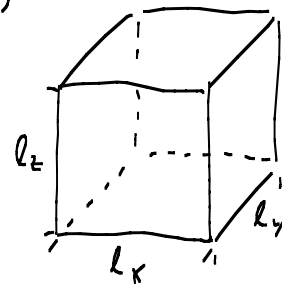
$$\Psi(\vec{r}) = \Psi(x, y, z) = \Psi(x) \cdot \Psi(y) \cdot \Psi(z)$$

$\rightarrow$  3 unabhängige Gleichungen

$$\Rightarrow \lambda_x = \frac{2L_x}{n_x} \Rightarrow |P_x| = \hbar k_x = n_x \frac{\pi \hbar}{L_x}$$

$$\lambda_y \quad |P_y| = n_y \frac{\pi \hbar}{L_y}$$

$$\lambda_z \quad |P_z| = n_z \frac{\pi \hbar}{L_z}$$



$$n_x, n_y, n_z \in \mathbb{N}$$

$$E = \frac{p^2}{2m} = \frac{\pi^2 \hbar^2}{2m} \left( \frac{n_x^2}{L_x^2} + \frac{n_y^2}{L_y^2} + \frac{n_z^2}{L_z^2} \right)$$

$$\left. \begin{array}{l} \text{oBdA } L_x = L_y = L_z = L \\ E_{n_x, n_y, n_z} = \frac{\pi^2 \hbar^2}{2mL^2} (n_x^2 + n_y^2 + n_z^2) \end{array} \right\}$$

• 3 Quantenzahlen

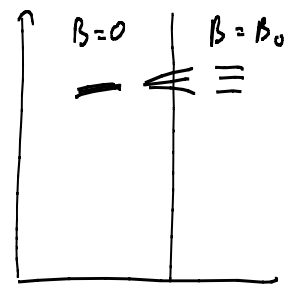
$$E_{111} = \frac{3\pi^2 \hbar^2}{2mL^2} = E_0 \quad 1$$

$$E_{211} = E_{121} = E_{112} = \frac{6\pi^2 \hbar^2}{2mL^2} = 2E_0 \quad 3$$

$$E_{221} = E_{212} = E_{122} = \frac{9\pi^2 \hbar^2}{2mL^2} = 3E_0 \quad 3$$



Entartung:  $n$ -unabhängige Zustände haben identische Energie  
 ↳ Degeneracy



## 6.2 Drehimpuls

$e^-$ -Kern-Zentralkraft.

- Beschreibung in kartesischen Koordinaten ungünstig  
 ↳ sphärische Koordinaten

$$\Psi(\vec{r}) = \Psi(r, \vartheta, \varphi)$$

$$-\frac{\hbar^2}{2m} \Delta = -\frac{\hbar^2}{2mr^2} \frac{\partial}{\partial r} \left( r^2 \frac{\partial}{\partial r} \right) + \frac{1}{2mr^2} L^2 \quad \text{dabei ist}$$

$$L^2 = -\hbar^2 \left[ \frac{1}{\sin^2 \vartheta} \frac{\partial}{\partial \varphi} \left( \sin^2 \vartheta \frac{\partial}{\partial \varphi} \right) + \frac{1}{\sin^2 \vartheta} \frac{\partial^2}{\partial \vartheta^2} \right]$$

- Konservative Zentralfelder:

Drehimpulserhaltung

$$|\vec{L}| = L_z \Rightarrow L_x = L_y = 0$$

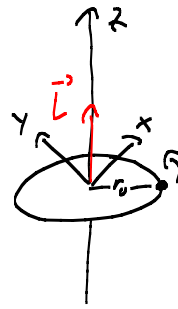
$$\hookrightarrow p_z = 0$$

$$\hookrightarrow x_z = \text{const.} = z_0$$

} Heisenberg

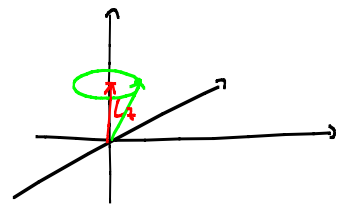
$$\Delta x \Delta p \geq \frac{\hbar}{2}$$

$$\Delta x_z \Delta p_z \geq \frac{\hbar}{2}$$



$|\vec{L}|$  = bestimmbar + 1 Richtung (von  $z$ )

wähle o.Éd.A.  $z$ -Komponente von  $L$ :  $L_z$



- Ansatz: Trennung der Variablen

$$\Psi(\vec{r}) = \Psi(r, \vartheta, \varphi) = R(r) \cdot \Theta(\vartheta) \cdot \Phi(\varphi)$$

- Häufig ja, z.B. H-Atom

$$\rightarrow \Phi(\varphi) = e^{im_l \varphi} \quad m_l \in \mathbb{N}$$

$$\rightarrow \Theta(\vartheta) = \text{Legendre-Polynome}$$

$$\Rightarrow \Theta(\vartheta) \cdot \Phi(\varphi) \Rightarrow Y_{l, m_l}^{m_l}(\vartheta, \varphi)$$

assoziierte  
Legendre-Polynome

$$l, m_l$$

$$|L| = \sqrt{l(l+1)} \hbar \quad l = 0, 1, 2, \dots$$

$$L_z = m_l \hbar \quad m_l = 0, \pm 1, \pm 2, \dots, \pm l$$

- Ergebnis einer mathematischen Rechnung
- $l, m_l$  Drehimpulsquantenzahlen
- Energiequantenzahlen ergeben sich mit  $U(r)$  aus  $R(r)$
- Einsetzen  $\Psi = R(r) Y_l^{m_l}$  in Schrödinger-Gl.
 
$$-\frac{\hbar^2}{2m} \left[ \frac{d^2 R}{dr^2} + \frac{2}{r} \frac{dR}{dr} \right] + \frac{l(l+1)\hbar^2}{2mr^2} R(r) + U(r) R(r) = E R(r)$$

↑  
 $U(r)$  kennen


- Bohrmodell
 
$$|L| = m v \cdot r = n \hbar$$

$$|L| = \sqrt{l(l+1)} \hbar$$

aber  $L_z = m_l \hbar$   $\uparrow$

da  $\sqrt{l(l+1)} \notin \mathbb{N}$  außer 0

Bohr'sche Quantisierung gilt für z-Komponente von L

- Anschauung  $l, m_l$  als umlaufendes Teilchen  $\oint$  mit QM
  - $l$ : Drehimpulsquantenzahl
  - $m_l$ : magnetische Quantenzahl
- 

### 6.3. Wasserstoffatom

- einfach
  - $\text{He}^+, \text{Li}^{++}$
  - Prototyp
- zentral-symmetrisches Potential
 
$$U(r) = \frac{1}{4\pi\epsilon_0} \frac{(+Ze)(-e)}{r} = -\frac{Ze^2}{4\pi\epsilon_0 r^2}$$

$$\Psi(r, \vartheta, \varphi, t) = R(r) Y_l^{m_l}(\vartheta, \varphi) e^{-iEt}$$

$$-\frac{\hbar^2}{2m} \left( \frac{d^2 R}{dr^2} + \frac{2}{r} \frac{dR}{dr} \right) + \frac{l(l+1)\hbar^2}{2mr^2} R(r) + U(r) R(r) = E R(r)$$

$\underbrace{\hspace{10em}}_{E_{\text{kin}}}$ 
↑
↑

$E_{\text{kin}}$ 
mit L verbundene Beitrag zu  $E_{\text{kin}}$ 
 $E_{\text{pot}}$

$\leftarrow$  klassisch Kreisbahn

$$E_{\text{kin}} = \frac{1}{2} m v^2, \quad L = m v r \Rightarrow E = \frac{L^2}{2m r^2}$$

- Lösungen für  $\Theta, \phi$  wie vorher
- " "  $l$  erfordern

$$E_n = -\frac{1}{4\pi\epsilon_0} \frac{e^2}{2a_0} \frac{Z^2}{n^2} \quad n \in \mathbb{N}$$

$$a_0 = \frac{\hbar^2}{m_e e} 4\pi\epsilon_0$$

- • Lösungen  $E_n$  wie bei Bohr
- $l < n$  für die Lösungen
- $R(r)$  berechenbar,  $R_{n,l}(r)$

- Historisch:  $n$ : Schale  
 $l$ : Unterschale

$n$	Symbol	$l$	Symbol
1	K	0	s
2	L	1	p
3	M	2	d
4	N	3	f
5	O	4	g
6	P	5	h



- Räumliche Struktur der Wellenfunktion

$$R(r) \cdot Y_l^m$$

$$|R(r)|^2 \cdot |Y_l^m|^2$$

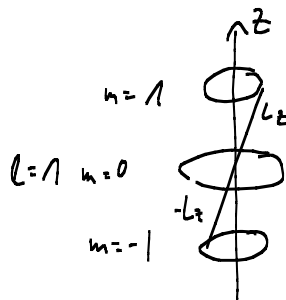
- s-Zustände sind radialsymmetrisch
- $l \neq 0$  sind achsensymmetrisch (z-Achse)
- Aufenthaltswahrscheinlichkeiten!

## 7. Struktur der Materie

### 7.1 Magnetisches Moment

Sei  $l \neq 0$

$$|L| = \sqrt{3} \hbar$$



$$L_z = (0, \pm 1) \hbar$$

Klassisch

- Ladung auf Kreisbahn
- $$\vec{m} = N \vec{I} \cdot \vec{A}$$
- $\uparrow$  Fläche  
 $\uparrow$  Strom  
 Windung



• hier

$$\vec{\mu}_e = I \vec{A}$$

↑ Bahnradius

$$\frac{q_e}{T} \leftarrow \text{Umlaufzeit}$$

$$\vec{\mu}_e = q_e \frac{\vec{A}}{T} = \frac{q_e}{2m_e} \vec{L}$$

gyromagnetisches Verhältnis

$$L = m r v = m r^2 \omega = m \frac{2\pi}{T} r^2 = \frac{2 m A}{T}$$

$$q_e = -e \rightarrow \vec{\mu}_e \uparrow \downarrow \vec{L} \Rightarrow \vec{\mu}_e = -\frac{e}{2m_e} \vec{L}$$

Übergang zur QM

- $\vec{\mu}_e = -\frac{e}{2m_e} \vec{L}$  ·  $g_e$ 
  - Korrekturfaktor, falls QM anders als klassisch
  - g-Faktor → klassisch  $g_e = 1$

•  $\vec{L}$  quantisiert → ebenso  $\vec{\mu}_e$

•  $\vec{L}$

$$\mu_B = \frac{e \hbar}{2m_e} \quad \text{Bohr'sches Magneton}$$

$$\mu_e = -\mu_B g_e \frac{\vec{L}}{\hbar}$$

•  $\vec{\mu}_e$  verhält sich qm wie  $\vec{L}$

$$L_z \rightarrow \mu_z \quad \mu_z = -\frac{e}{2m_e} L_z = -\frac{e \hbar}{2m_e} m_l = -\mu_B m_l$$

$m_l$  magnetische Quantenzahl

$\vec{\mu}$  im externen Magnetfeld?

• klassisch: Drehmoment  $\vec{\tau}$  auf Kreis → Präzession

$$\vec{\tau} = \frac{d\vec{L}}{dt} \quad |\vec{L}| = \text{const} \quad , \text{ Richtungsänderung}$$

$$\vec{\tau} = \vec{\mu} \times \vec{B} = -\frac{e}{2m_e} \vec{L} \times \vec{B}$$

$$\frac{d\vec{L}}{dt} = \vec{\tau} = -\frac{e}{2m_e} \vec{L} \times \vec{B}$$

$$\left| \omega_L = \frac{e}{2m_e} B \right| \quad \text{Larmorfrequenz}$$

Potenitielle Energie

$$E_{\text{pot}}^{\text{mag}} = -\vec{\mu} \cdot \vec{B}$$

$$\vec{\mu} \perp \vec{B} \rightarrow E_{\text{pot}} = 0$$

$$\vec{\mu} \parallel \vec{B} \rightarrow E_{\text{pot}} \text{ minimal}$$

$\vec{\tau}$  versucht  $\vec{\mu} \parallel \vec{B}$  zu machen

QM: Sei  $\vec{B} \parallel z$ -Achse  
 Richtung von  $\vec{p}_i$  quantisiert }  $E_{pot}^{mag}$  quantisiert  
 $E_{pot}^{mag} = (-)(-)\frac{e}{2m_e} \vec{L} \cdot \vec{B} = \frac{eB}{2m_e} L_z = \omega_L \hbar m_l$   
 $\vec{L}_z \parallel \vec{B}$

- virtuelle Unschärfe
- Präzession
- zeigen das gleiche Bild



### 7.2 Zeeman Effekt

H-Atom im Magnetfeld

$$l=1 \quad m_l = 0, \pm 1$$

Sei  $|\vec{B}| = 1 \text{ T}$

$$\hbar \omega_L = \frac{eB}{2m_e} \hbar = 5,8 \cdot 10^{-5} \text{ eV}$$

$$E_{pot}^{mag} = \omega_L \hbar m_l$$

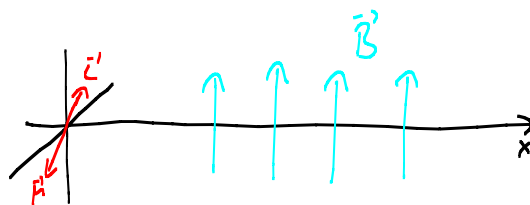
$$E = E_{n=2, l=1} + \underbrace{m_l \cdot 5,8 \cdot 10^{-5} \text{ eV}}_{E_{pot}^{mag}}$$

Aufspaltung der Spektrallinien ohne Magnetfeld  $E_{pot}^{mag} \sim B$



normaler Zeeman-Effekt

### 7.3, Elektronenspin

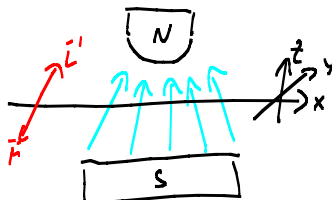


$$E_{pot}^{mag} = -\vec{\mu} \cdot \vec{B}$$

$$-\frac{dU}{dx} = F \quad U \text{ Potential}$$

$$F = -\nabla U = -\nabla E_{pot}^{mag}$$

B veränderlich in z-Richtung

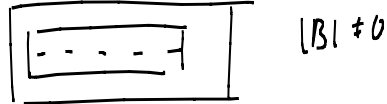


$$\frac{\partial \vec{B}}{\partial x} = 0 = \frac{\partial \vec{B}}{\partial y} \quad \frac{\partial \vec{B}}{\partial z} \neq 0$$

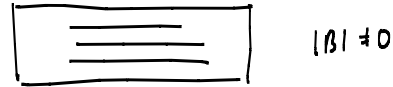


$$F_z = \vec{p}' \cdot \frac{\partial \vec{B}}{\partial z} = \vec{p}'_z \cdot \frac{\partial \vec{B}}{\partial z}$$

Klassisch



QM Erwartung für  $H, n=2, l=1$



Erwartung für  $H, n=1, l=0$



Stern-Gerlach-Versuch ↑

Ergebnis unerwartet



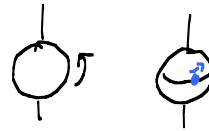
↳ ∃ weiteres magnetisches Moment

Gröndswit + Uhlenbeck 1925 Leiden

→  $e^-$  hat magnetisches Moment

Klassisch : rotierende geladene Kugel

Nettoladung entlang des Äquators



$$\vec{p}_s = \frac{e}{2m_e} \vec{L}_s, \quad L_s = \frac{2}{5} m r^2 \omega$$

QM: heuristisch

$$L_s \rightarrow \vec{S} \quad |\vec{S}| = \sqrt{s(s+1)} \hbar, \quad S_z = m_s \hbar$$

$$s=1, \quad m_s = -1, 0, 1 \rightarrow 3 \text{ Komponenten}$$

aber nur 2 Komponenten gesehen

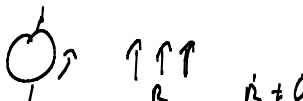
$$\exists 2s+1 \text{ Komponenten} \quad 2s+1=2 \Rightarrow s=\frac{1}{2}$$

$$\text{Für } s=\frac{1}{2} \quad |\vec{S}| = \sqrt{\frac{1}{2} \cdot \frac{3}{2}} \hbar = \frac{1}{2} \sqrt{3} \hbar \quad m_s = \pm \frac{1}{2}$$

Spin, Spinzahlnzahl  $s = \frac{1}{2}$

$$|\vec{S}| = \frac{1}{2} \sqrt{3} \hbar = \text{const.}$$

Klassisch: rotierende Kugel

•  Faraday-Henry Gesetz -  $\frac{d\phi_0}{dt} =$  Elektromagnetische Kraft

→ Bremsung  $\hookrightarrow e^-$ : keine geladenen Kugeln

•  $\phi_e < 10^{-6} \text{ A} \Rightarrow V_{\text{Oberfläche}} > c \hookrightarrow e^-$ : kein rotierender Ball

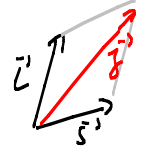
$\mu_e = -\mu_B g_e \frac{\vec{L}}{\hbar}$ $\vec{\mu}_{ez} = -\mu_B g_e m_l$	$ \mu_e  = \mu_B g_e \sqrt{l(l+1)} \quad g_e = 1$
$\mu_s = -\mu_B g_s \frac{\vec{S}}{\hbar}$ $\mu_{sz} = -\mu_B g_s m_s$ $= -\frac{1}{2} \mu_B g_s$	$ \mu_s  = \mu_B g_s \frac{1}{2} \sqrt{3}$

Aus Stern-Gerlach-Versuch:  $g_s \approx 2$

$|\mu_s| = 2 \times$  so hoch wie klassisch erwartet

$g_s = 2,002319$   
 ↑ Dirac 1929 → Quantenelektrodynamik Feynman

•  $\vec{\mu} = \vec{\mu}_L + \vec{\mu}_S = -\frac{e}{2m_e} (\vec{L} + g_s \cdot \vec{S})$



$\vec{L} + \vec{S} = \vec{J}$

•  $m_s$  ist die 4. Quantenzahl

$n, l, m_l, m_s$

7.4. Spin-Bahn-Kopplung

WW zwischen magnetischen Momenten von Spin und Bahn

Ursache: Kippmoment  $\mu_L$  erzeugt Kippmoment für  $\mu_S$

→  $E_{pot} = \vec{\mu}_S \cdot \vec{\mu}_L$

→ verschiedene Energieniveaus, je nach Orientierung

→ Feinstruktur: Verdopplung

• Ohne äußere Drehmomente  $\vec{J} = \vec{L} + \vec{S}$  erhalten  
 $J_z$  " "

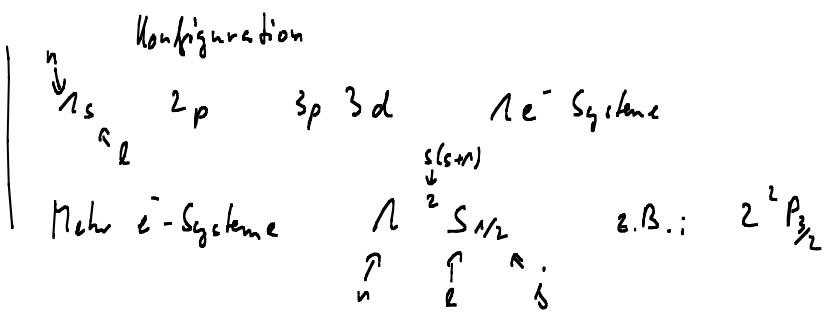
$|\vec{J}| = \sqrt{j(j+1)} \hbar$ ,  $j = l+s, l+s-1, \dots, |l-s|$

$J_z = m_j \hbar$ ,  $m_j = 0, \pm 1, \pm 2, \dots, \pm j$

Quantenzahlen:  $n, l, m_l, m_s \rightarrow n, l, j, j_z$

Notation

$l = 0, 1, 2, 3, 4, 5$   
 $s \ p \ d \ f \ g \ h$   
 $n = 1, 2, 3, 4, 5, 6$   
 $K \ L \ M \ N \ O \ P$



# Auswahlregeln

Wahrscheinlichkeiten für Übergänge sind unterschiedlich:

abhängig von  $\psi_n, \psi_m$

allgemein:  $A = \int_{-\infty}^{\infty} x \psi_n \psi_m^* dx$

$A \neq 0$  erlaubter Übergang  
 $A = 0$  verbotener "

Erlaubte Übergänge:  $\int_{-\infty}^{\infty} u \psi_{n,l,m_l} \psi_{n',l',m_l'}^* dx$

$n, l, m_l$  Grundzustand

$n', l', m_l'$  angeregter Zustand

$u$  entlang  $x, y, z$

Für unterschiedliche  $n$  Übergänge möglich:

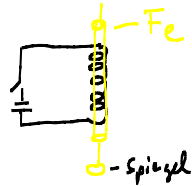
Auswahlregeln:  $\Delta l = \pm 1$

bedeutet: Photon trägt Drehimpuls  $\pm \hbar$

$\Delta m_l = 0, \pm 1$

↓  
 Rechts/Links  
 Polarisation

Drehimpuls R/L zirkular polarisiert: Richardson-Ginsken-DeHaas-Effekt



Umagnetisierung

-> Umklappen des Spins

-> Drehimpulsänderung

## Pauli-Verbot

4 Quantenzahlen beschreiben Zustand eines Elektrons:  $n, l, m_l, m_s$

Pauli: Ein Quantenzustand kann nur von einem Elektron besetzt werden

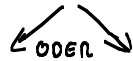
Gemeinsame Wellenfunktion für 2 Teilchen

$\psi = \psi(r_1, r_2)$

$e_1$  bei  $r_1$

$e_2$  bei  $r_2$

$|\psi(r_1, r_2)| = |\psi(r_2, r_1)|$  bei ununterscheidbaren Teilchen



$\psi(r_1, r_2) = \psi(r_2, r_1)$

$\psi(r_1, r_2) = -\psi(r_2, r_1)$

Bosonen (ganzzahliger Spin)

Fermionen (halbzahliger Spin)

-> Bose-Einstein-Statistik

-> Fermi-Dirac-Stat.

$\psi(r_1, r_2) = -\psi(r_2, r_1)$  Forderung an  $\psi(e_1, e_2)$  antisymmetrisch

=> Pauli-Verbot

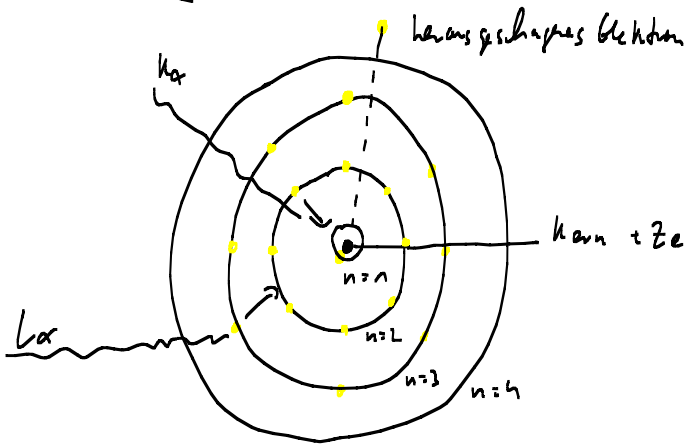
=> Hund'sche Regel

} Periodensystem



Atom	1s	2s	2p			
Li	$\uparrow\downarrow$	$\uparrow$	$\square$	$\square$	$\square$	$1s^2 2s^1$
Be	$\uparrow\downarrow$	$\uparrow\downarrow$	$\square$	$\square$	$\square$	$1s^2 2s^2$
B	$\uparrow\downarrow$	$\uparrow\downarrow$	$\uparrow$	$\square$	$\square$	$1s^2 2s^2 2p^1$
C	$\uparrow\downarrow$	$\uparrow\downarrow$	$\uparrow$	$\uparrow$	$\square$	$1s^2 2s^2 2p^2$
N	$\uparrow\downarrow$	$\uparrow\downarrow$	$\uparrow$	$\uparrow$	$\uparrow$	$1s^2 2s^2 2p^3$
O	$\uparrow\downarrow$	$\uparrow\downarrow$	$\uparrow\downarrow$	$\uparrow$	$\uparrow$	$1s^2 2s^2 2p^4$
F	$\uparrow\downarrow$	$\uparrow\downarrow$	$\uparrow\downarrow$	$\uparrow\downarrow$	$\uparrow$	$1s^2 2s^2 2p^5$
Ne	$\uparrow\downarrow$	$\uparrow\downarrow$	$\uparrow\downarrow$	$\uparrow\downarrow$	$\uparrow\downarrow$	$1s^2 2s^2 2p^6$

Hund'sche Regel



$K_{\alpha} \hat{=}$  Röntgenstrahlung  
Sprung von 1. Bahn in K-Schale

K-Schale:  $\frac{1}{\lambda} = R \left( \frac{1}{n_f^2} - \frac{1}{n_i^2} \right)$

Ionisation  $n_i = \infty$   
 $n_f = 1$ , K-Schale

$E = \frac{hc}{\lambda} \hat{=} \frac{hcR}{1.6 \cdot 10^{19}} = 13,6 \text{ eV}$

$\lambda = 91,2 \text{ nm}$

mit Kernladung  $Z$   $\frac{1}{\lambda} = R Z^2 \left( \frac{1}{n_f^2} - \frac{1}{n_i^2} \right) \Rightarrow E = 13,6 Z^2$

$\Rightarrow \propto \frac{1}{\lambda} \propto Z^2$

$Z \propto \sqrt{\lambda} \rightarrow$  Gerade

MOSLEY'S Gesetze

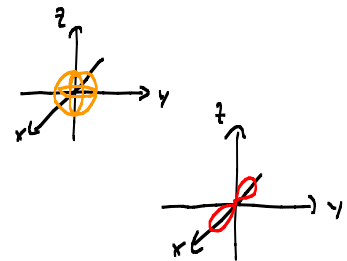
### Orbitale

Grenzfläche 3-dim

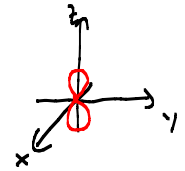
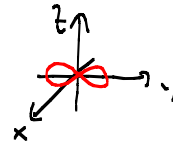
$|Y|^2 = |R \Theta \Phi|^2$

innerhalb derer die Aufenthaltsws. des  $e^-$  90% oder 95%

Orbital	n	l	$m_l$
s	1, 2, 3, ...	0	0
$p_x$	2, 3, 4, ...	1	$\pm 1$



$P_y$       2, 3, 4 ... 1       $\pm 1$   
 $P_z$       2, 3, 4 ... 1      0



Annäherung  $\rightarrow$  Überlapp

Erhöhung Wahrsch. zwischen Atomen

Drehimpuls  $L$  um Bindungsachse

$L=0$  :  $\sigma$

$L=1$  :  $\pi$

